

تأثیر زمین شیمیائی مخازن نفتی آسماری بر منابع آب کارستی مسجد سلیمان

سید یحیی میرزایی

گروه زمین شناسی، دانشکده علوم زمین، دانشگاه شهید چمران اهواز

علیرضا زراسوندی

گروه زمین شناسی، دانشکده علوم زمین، دانشگاه شهید چمران اهواز

مریم اورنگ

دانش آموخته گروه زمین شناسی، دانشکده علوم زمین، دانشگاه شهید چمران اهواز

تاریخ دریافت: ۹۳/۹/۱۱ تاریخ پذیرش: ۹۳/۹/۱۲

Yahya2010@yahoo.com

چکیده

همجواری منابع آب موجود در سازندهای کارستی با میدین نفتی می‌تواند باعث آلودگی این منابع گردد. به دلیل اهمیت منابع آب موجود در سازندهای سخت، بررسی اثرات این تداخل از اهمیت ویژه‌ای برخوردار است. بر این اساس در این تحقیق به بررسی ژئوشیمیایی تاثیر مخازن نفتی بر منابع آب کارستی و تفکیک آن با استفاده از مطالعات ژئوشیمیایی و هیدروژئوشیمیایی در منطقه مسجد سلیمان واقع در استان خوزستان پرداخته شد. نتایج بررسی نشان داد، تیپ منابع آب تاقدیس آسماری از نوع کلروره سدیک و سولفاته سدیک و در گروه نامناسب برای شرب می‌باشد. بررسی نسبت الکان‌های نرمال همچنین نتایج آنالیز رسوبات مرتبط با چشممه‌های منطقه نشان می‌دهد که این مواد دارای غلظت‌های تقریباً بیشتر از میزان زمینه و بترتیب به صورت $\text{Ni} > \text{Zn} > \text{Cr} > \text{V} > \text{Cu} > \text{Pb} > \text{As} > \text{Co}$ می‌باشد که نشان می‌دهد منشاء آلودگی نفتی نمونه‌های مورد مطالعه، نفت مخزن آسماری در میدان نفتی مسجد سلیمان بوده که بشدت مورد تجزیه زیستی قرار گرفته‌اند. مجموع نتایج این مطالعه نشان داد آب ذخیره شده در سازنده کارستی آسماری در محل خروجی تاقدیس (چشممه گرو) با آبهای حاصل از انحلال بین لایه‌های سازند گچساران (انحلال هالیت و ژپس) و سورابه‌ها و هیدروکربن‌های نفتی مخزن آسماری اختلاط و آلوده گردیده است لذا بررسی محل دقیق ورود آلاینده‌های نفتی به منابع آب تاقدیس آسماری همچنین خروج آب با کیفیت قبل از تداخل با آلاینده نفتی می‌تواند باعث کاهش دبی چشممه گرو و کاهش ورود آب آلود به رودخانه شور تمیزی و در نهایت رودخانه کارون گردد.

کلمات کلیدی: سازند های کارستی، آلودگی نفتی، سورابه، فلزات سنگین، مسجد سلیمان

مقدمه

موجود می‌گرددن (Al-Sulaimi et al., 1993). دارند. اختلاط شورابه‌های نفتی بهمراه مواد هیدروکربنی با آبهای زیرزمینی موجب تغییر بسیاری از مولفه‌های ژئوشیمیایی، ژئوشیمیایی آلی و هیدروژئوشیمیایی لذا درک تغییرات شیمیایی و مکانیسم ایجاد آن‌ها به منظور تعیین ارتباط بین مخازن هیدروکربنی و سفره‌های آب زیرزمینی در مناطق آلوده به نفت بسیار ضروری است. بدین منظور منطقه مسجد سلیمان که از دیر باز با مسئله آلودگی نفت مواجه می‌باشد در این تحقیق مورد ارزیابی قرار گرفت. محدوده مطالعاتی مورد بررسی واقع در ۹۰ کیلومتری شمال شرق اهواز و ۲۰ کیلومتری جنوب غرب مسجد سلیمان در حدفاصل ۴۹ درجه و ۳۰ دقیقه تا ۴۹ درجه و ۴۵ دقیقه عرض جغرافیایی و ۳۱ درجه و ۳۳ دقیقه تا ۳۱ درجه و ۴۸ دقیقه طول جغرافیایی می‌باشد (شکل ۱). مطالعات زیادی جهت تعیین منشاء شوری و آلاینده‌های نفتی در آبهای زیرزمینی همچوar با مخازن نفتی صورت گرفته است که از آن جمله می‌توان به مطالعات Leonard, 1964 Leonard and Ward, 1962 Desitter, 1947 Karimi and Moore, 2008 Krieger and Hendrickson, 1960 Al-Sulaimi et al., 1993 Land and Prezbindowski, 1981

یکی از مسائلی که همواره منابع آب را مورد تهدید قرار می‌دهد آلودگی‌های ناشی از همچوar با مخازن نفتی می‌باشد. در این میان آب زیرزمینی که یکی از مهمترین منابع تامین کننده آب شیرین محسوب می‌شوند عموماً در بسیاری از مناطق واجد نفت و گاز، بواسطه‌ی شرایطی مانند درز و شکستگی‌های موجود در مخازن نفتی، عملکرد و چرخش آب زیرزمینی در مناطق مجاور چاه‌ها و میدین نفتی همچنین آبشویی مناطق سطحی آلوده به مواد هیدروکربنی، در معرض تهدید آلودگی‌های نفتی قرار دارند. این موضوع با توجه به کاهش منابع آب شیرین در دهه‌های اخیر و اثرات جبران ناپذیر آلودگی‌های نفتی بر منابع آب، بسیار قابل توجه می‌باشد، از این رو توضیح رفتار ویژگی‌های این آلودگی‌ها، همچنین تعیین ارتباط آنها با سایر منابع حائز اهمیت می‌باشد. آلودگی‌های نفتی مهمترین اثرات خود را در منابع آبی به شکل شوری آب و افزایش غلظت ترکیبات هیدروکربنی و فلزات سنگین می‌گذارند.

این موضوع در ارتباط با هیدروکربن‌های آروماتیک و شورابه‌های موجود در مخازن نفت می‌باشد که بیشترین حلایت را در میان مواد تشکیل دهنده نفت آب می‌شود و در نتیجه موجب ازدیاد غلظت هیدروکربن‌های پایه، فلزات سنگین از جمله نیکل و وانادیم، همچنین گوگرد و انواع نمکها در آبخوان و چشممه‌های

است. در این تحقیق نیز با استفاده آنالیز عناصر و هیدروکربن‌ها موجود در آب و خاک منطقه، به بررسی اثرات ژئوشیمیایی همراهی مخازن نفتی و منابع آب کارستی و تفکیک آن با استفاده از مطالعات ژئوشیمیایی پرداخته شد.

Whittemore, 1982 و Mast, 1988 رسمی زرین آبادی، ۱۳۹۳ اشاره کرد که در اکثر این تحقیقات از نسبت‌های یونی، غلظت عناصر سنگین و مقادیر هیدروکربن‌ها جهت بررسی میزان و منشاء آلودگی منابع آب بهره جسته شده



شکل ۱. موقعیت منطقه مورد مطالعه در ایران و خوزستان

توجه به این مطالعه، مبنای این پژوهش در راستای تعیین منشاء آلودگی نفتی منابع آب زیرزمینی مخزن آسماری در منطقه گلگیر مسجد سلیمان، تحلیل و آنالیز کیفی آب، خاک و نفت چشمهدای کارستی منطقه که در ارتباط نزدیک با نشت‌های نفتی خروجی از مخزن مذکور هستند قرار گرفته است.

اولین قدم در نمونه برداری کیفی تعیین نقاط مناسب جهت برداشت نمونه می‌باشد، به همین منظور موقعیت چشمهدای و وضعیت هیدروژئولوژیکی منطقه به دقت مورد بررسی قرار گرفت و نهایتاً نقاط مناسب نمونه برداری آب، خاک و نفت تعیین گردید(جدول ۱).

روش کار
همواری منابع آب با مخازن هیدروکربنی بعلت انتقال هیدروکربن‌ها و شورابه‌های نفتی از فلزات سنگین (از طریق درز و شکاف‌های مخازن)، باعث تغییرات وسیع ژئوشیمیایی و هیدروژئوشیمیایی در منابع آب می‌گردد. لذا اندرکنش بین آب، خاک و سنگ، تغییرات وسیع کاتیون و آنیونی بهمراه افزایش و یا کاهش غلظت هیدروکربن‌ها و فلزات سنگین در این محیط‌ها شکل می‌گیرد (Rittenhouse et al., 1969). این تغییرات وسیع علاوه بر اینکه به لحاظ اثرات زیست محیطی حائز اهمیت هستند، می‌توانند به عنوان پارامترهای موثر در تعیین منشا تغییرات و تفکیک جوامع ژئوشیمیایی متفاوت کمک شایانی نمایند. با

جدول ۱. نمونه‌های برداشت شده جهت انجام آزمایشات مختلف

هدف	نوع نمونه	موقعیت جغرافیایی	شماره نمونه
آنالیز هیدروژئیمی	آب	۳۵۱۷۴۴۷	۳۵۹۰۰۴ AS-۱
آنالیز هیدروژئیمی	آب	۳۵۱۷۳۹۹	۳۵۸۸۷۲ AS-۲
آنالیز هیدروژئیمی	آب	۳۵۱۷۳۹۶	۳۵۸۸۸۲ AS-۳
آنالیز هیدروژئیمی	آب	۳۵۱۷۳۸۷	۳۵۸۸۷۱ AS-۴
آنالیز هیدروژئیمی	آب	۳۵۱۷۳۸۷	۳۵۸۸۴۵ AS-۵
آنالیز هیدروژئیمی	آب	۳۵۱۷۳۵۷	۳۵۸۸۱۸ AS-۶
آنالیز هیدروژئیمی	آب	۳۵۱۷۳۵۷	۳۵۸۷۹۲ AS-۷
آنالیز هیدروژئیمی	آب	۳۵۱۷۳۷۲	۳۵۸۷۱۳ AS-۹
آنالیزهای GC-MS و GC-FID		پیتوین	
آنالیزهای XRF و GC	رسوب	۳۵۱۷۳۹۹	۳۵۸۸۷۲ AS-۲-S1
آنالیزهای XRF و GC	رسوب	۳۵۱۷۳۹۶	۳۵۸۸۸۲ AS-۳-S1
آنالیزهای XRF و GC	رسوب	۳۵۱۷۳۸۷	۳۵۸۸۷۱ AS-۴-S1
آنالیزهای XRF و GC	رسوب	۳۵۱۷۳۸۷	۳۵۸۸۴۵ AS-۵-S1
انجام آنالیزهای XRF و GC	رسوب	۳۵۱۷۳۵۷	۳۵۸۸۱۸ AS-۶-S1
انجام آنالیزهای XRF و GC	رسوب	۳۵۱۷۳۵۷	۳۵۸۷۹۲ AS-۷-S1
آنالیز GC	نفت	۳۵۱۷۳۹۹	۳۵۸۸۷۲ AS-۲-S2
آنالیز GC	نفت	۳۵۱۷۳۹۶	۳۵۸۸۸۲ AS-۳-S2
آنالیز GC	نفت	۳۵۱۷۳۸۷	۳۵۸۸۷۱ AS-۴-S2
آنالیز GC	نفت	۳۵۱۷۳۸۷	۳۵۸۸۴۵ AS-۵-S2
آنالیز GC	نفت	۳۵۱۷۳۵۷	۳۵۸۸۱۸ AS-۶-S2

مطالعات زمین شناسی و هیدروژئولوژیکی

با توجه به ماهیت این تحقیق و ارتباط تنگاتنگ منابع آلاینده نفتی و منابع آب کارستی با سازندهای زمین‌شناسی، بررسی وضعیت زمین‌شناسی و هیدروژئولوژیکی محدوده مطالعاتی بخش مهمی از این پژوهش را شامل می‌شود. بر اساس بررسی‌های انجام شده سازندها قابل رویت در محدوده مورد مطالعه، به ترتیب از قدیم به جدید شامل: سازند پابده، سازند آهکی آسماری (الیگو-میوسن)، سازند گچی و مارنی گچساران (میوسن)، سازند آهکی-مارنی میشان (میوسن)، سازند ماسه سنگی-مارنی آغازاری به همراه بخش لهبری (میوسن-پلیوسن)، سازند کنگلومراژی بختیاری (پلیوسن) و نهشته‌های آبرفتی کواترنر می‌باشند (شکل ۲).

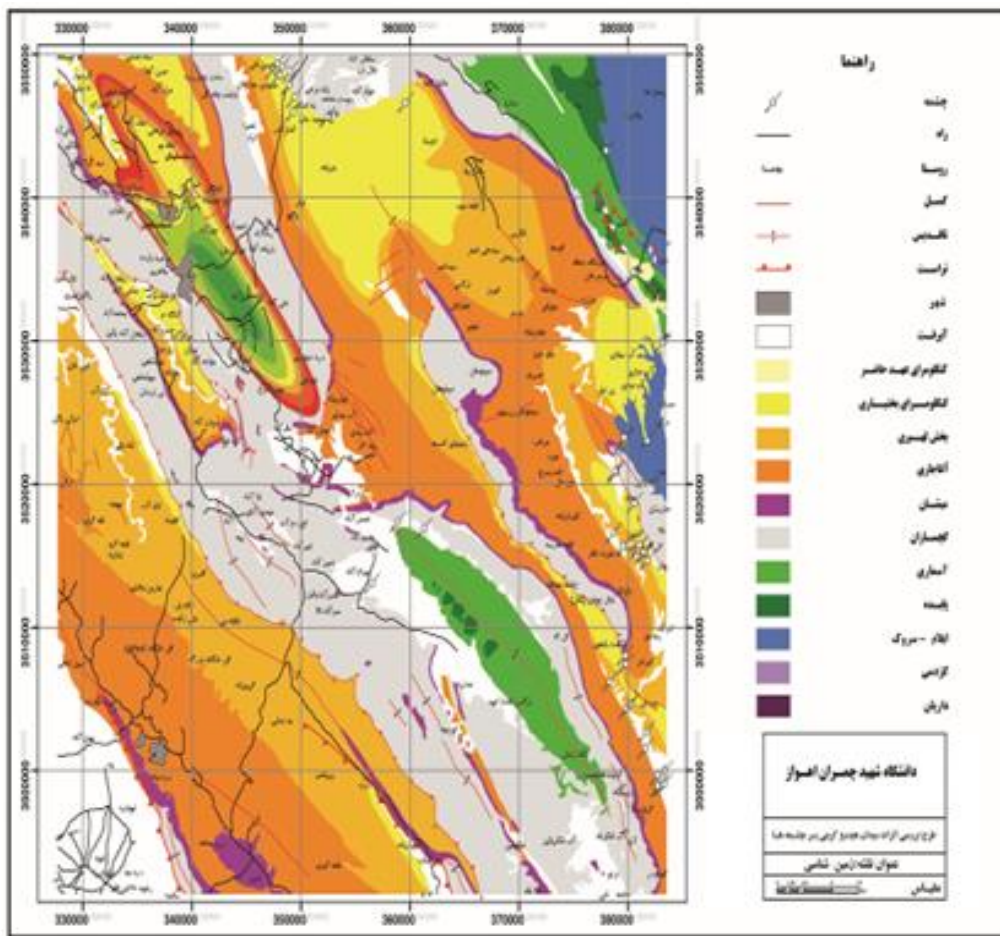
به لحاظ ساختاری منطقه مورد مطالعه در زاگرس چین خورده واقع شده بنابراین ساختارهای زمین‌شناسی آن نیز از این زون تعیین می‌کند. مهمترین عارضه ساختاری موجود در منطقه تاقدیس آسماری است، این چین خورده‌گی سازند آسماری و توالی زیرسطحی آن در منطقه آسماری تاقدیس نامتقارن و مایل را بوجود آورده است (شکل ۳).

جهت تعیین غلظت یونهای آب زیرزمینی منطقه از روش تیترسنجی و نورسنجی شعله استفاده شد که آنالیز‌های مذکور بر اساس نمونه‌های گرفته شده از ۸ چشممهی موجود در منطقه نهایتاً حاصل گردید. غلظت عناصر کمیاب محلول در نمونه‌های آب نیز به کمک دستگاه طیف سنج تابشی با منبع پلاسمای جفت شده القایی (ICP OES) مدل ULTIMA 2C SERIES HORIBA تعیین شد.

در راستای بررسی سنگ و رسوب منطقه‌ی مطالعاتی ۷ نمونه مورد برداشت قرار گرفت که پس از پودر شدن، جهت تعیین مقدار عناصر موجود به آزمایشگاه شرکت کانساران بینالود تهران منتقل و با دستگاه فلورسانس اشعه ایکس (XRF) مدل دستگاه Philips مدل RT1123 قرار گرفت.

نمونه‌های ۵ چشممهی نفتی و شیلی نفتی نیز جهت تعیین نوع و میزان احتمالی مواد هیدروکربنی بیومارکرهای و انطباق آن با واحدهای لیتوژئولوژیکی نفت دار منطقه برداشت و در آزمایشگاه دانشگاه شهید چمران اهواز تحت آنالیز GC قرار گرفتند.

از طرفی جهت مطالعات هیدروژئولوژیکی منطقه از نقشه‌های زمین‌شناسی، توپوگرافی، تصاویر ماهواره‌ای بهره جسته شد و با استفاده از قابلیت‌های نرم افزارهای مکانی تحلیل‌های لازم بر روی این داده‌ها صورت گرفت.

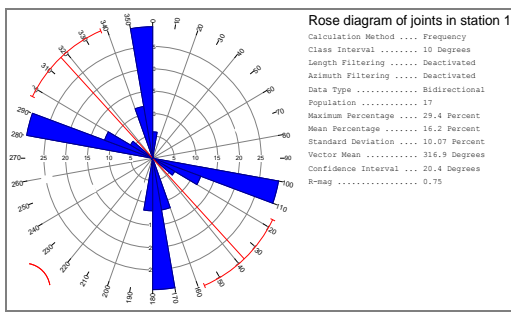


شکل ۲. نقشه زمین شناسی منطقه مورد مطالعه



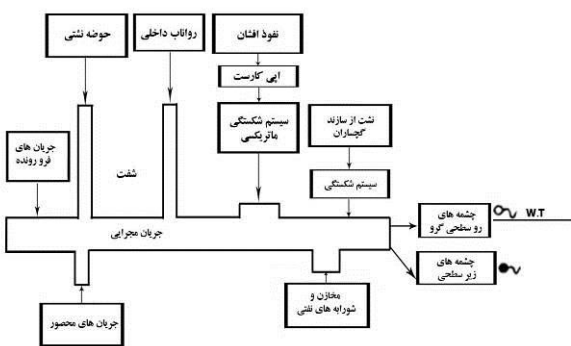
شکل ۳. نمایی از یال جنوب شرقی تاقدیس آسماری

می باشد. براساس مطالب مطرح شده توسعه کارست در تاقدیس آسماری برای یال جنوب غربی معتبر می باشند (ناصری و علیجانی ۱۳۸۵).



شکل ۴. راستای غالب شکستگی های موجود در محل رخمنون چشمی ها

از لحاظ جهت جریان در این تاقدیس راستای عمومی حرکت آب در امتداد محور چین و راستای غالب شکستگی ها به سمت پلانز دماغه تاقدیس صورت می گیرد و این جریان تمایل دارد تا در امتداد سطوح ناپیوستگی تمرکز یافته و این تمرکز باعث انحلال و بازشدنگی سییرهای و عبور حجم بالاتری از جریان در ناپیوستگی ها شود. علاوه بر جریان های طولی به موازات محور تاقدیس جریان های عمود بر محور نیز در تاقدیس دیده می شود که عموماً متاثر از گسل های و درزه های عمود دسته درزه کششی، برشی و مختلط در تاقدیس آسماری وجود دارند که در فرایند کارست شدنگی این تاقدیس اثرات متفاوتی را ایجاد نموده اند. بطور کلی در کارست آسماری درزه های طولی (کششی) و درزه های عرضی (رهابی) که اکثراً دارای بازشدنگی زیاد می باشند، نفوذ آب به کارست را منجر می شوند، در حالی که دسته درزه های برشی عمدها در هدایت زیرزمینی آب کارست آسماری مؤثر هستند. در حوالی گسل ها نیز غالباً درزه های متعددی مشاهده می گردد که منشاء برشی دارند. بر اساس مطالعات انجام شده در موقعیت چشمی ها دو دسته درزه N5W و E15S نیز قابل شناسایی است که با یکدیگر زاویه حدود ۷۰ درجه می سازند. این دو دسته درزه که نسبت به محور تاقدیس آسماری زاویه دار می باشند، از نوع درزه های برشی می باشند (شکل ۴). با توجه به مطالعات انجام شده در یال جنوب غربی تاقدیس آسماری، انحلال ترجیحی در امتداد تقاطع گسل ها با یکدیگر و گسل ها با سطوح لایه بندی باعث ایجاد مجاری بزرگ و تغییر جریان ماتریکسی به جریان مجرایی و افزایش عبوردهی شکستگی تا چندین برابر شده است، در این یال درزه های نفوذ پذیر و مجرایی فعال در حال تکامل باعث زهکشی بخش اشیاع به طرف زون فراتیک شده اند که بر این اساس می توان گفت در این یال تکامل تاقدیس از لحاظ تکامل مجرایی در مرحله میانی توسعه مجرای کارستی قرار دارد. بر خلاف یال جنوب غربی در یال شمال شرقی تاقدیس آسماری وجود سیستم زهکشی سطحی موazی و متراکم بیانگر عدم توسعه کارست عمقی در این ناحیه



شکل ۵. مدل مفهومی آبخوان کارستی آسماری (با تغییر از White 2002)



شکل ۷. نمایی از آب خروجی از چشمه گرو با غلظت بالای از املاح



شکل ۸. خروج نفت از مجاورت دهانه های چشمه گرو

در مدل مفهومی ارائه شده در شکل ۶ خروجی سیستم کارستی را چشمه‌های روسطحی گرو و چشمه‌های زیر سطحی تشکیل می‌دهند، در تقدیس آسماری بخش عمده‌ای از تخلیه آبخوان را چشمه گرو بر عهده داشته که ایجاد این چشمه در منطقه حاصل برخورد سطح ایستابی کارست با لایه‌ای نفوذ پذیر سازند گچساران در محل رخنمون چشمه بوده که همین عامل باعث خروج آب در تراز رودخانه شور در منطقه شده البته بخشی از آب موجود در سیستم به دلیل تجمع رسوبات رودخانه در محل و تراز ایستابی زون اشباع کارست به آبرفت زیر رودخانه تزریق می‌شود. از لحاظ هیدرولوژیکی چشمه کارستی گرو شامل ۸ دهنه اصلی بوده که بر اثر نیروی ثقل در انتهای مسیر تخلیه آبخوان کارستی آسماری قرار گرفته و باعث تخلیه این آبخوان بزرگ می‌گردد. بخشی از آب آبخوان به شکل زیر سطحی به آبرفت رودخانه شور تمیز تزریق می‌گردد. شکل (۹) از لحاظ آبدیه دهانه اول چشمه گرو پرآب ترین دهانه است و در محل خروج آب سینترهای سفید رنگ دهانه چشمه‌ها را پوشانده که این مواد به همراه لجن‌های سبز و آلوگی‌های هیدرولیکی قابل مشاهده می‌باشند. با توجه به اینکه خروجی‌های این چشمه متمن‌کز نبوده هیچ گونه ابزار اندازه‌گیری بر روی این چشمه نصب نگردیده، بنابراین برآورد دقیقی از دبی چشمه‌ها ممکن نیست لیکن به طور تقریبی می‌توان گفت که آبدیه از ۳۳۰ تا ۵۰۰ لیتر در ثانیه متغیر می‌باشد قابل ذکر است که در فصول خشک مقدار دبی کمتر و برعی از دهانه‌های چشمه خشک می‌شوند. شکل (۱۰) آب چشمه از لحاظ درجه حرارت رنچ حرارتی نسبتاً ثابتی دارد و دمای آب چشمه در زمستان حدود ۲۶ درجه سانتی‌گراد و در تابستان حدود ۲۷ درجه سانتی‌گراد ثبت گردیده است

جهت تهیه این مدل از مطالعات محققان Bakalowicz, . White, 2002 و Clemens et al., 1999 و مطالعات انجام شده در محدوده مطالعاتی استفاده شده است. در مدل مفهومی ارائه شده (شکل ۵) تغذیه سطحی این سیستم کارستی به شکل‌های متنوعی صورت می‌گیرد که از آن جمله تغذیه آلوژنیک ناشی از نشت آب از سازند گچساران، نفوذ از آبخوان‌های مجاور، نفوذ آب از سطح آهک بر亨ه و خاک از طریق شکستگی‌های ماتریکسی و افشار و در نهایت نفوذ رواناب از طریق سیستم‌های مجرایی عمودی صورت می‌گیرد. در حالت تغذیه افشار ابتدا آب باریده شده بر روی منطقه از سطح آهک و خاک پوشیده شده بر آهک عبور کرده و به دلیل وجود یک سیستم شکستگی ماتریکسی حرکت به آرامی و با اشباع کردن بخش غیر اشباع آبخوان صورت می‌گیرد و در نهایت به سطح ایستابی و زون اشباع می‌رسد در منطقه‌ای مطالعاتی مقدار زیادی از آب نفوذی از سطح کارست، به صورت تغذیه یکنواخت افشار از طریق درزه‌ها به سمت پایین حرکت می‌نماید شکل (۶).



شکل ۶. نمایی از سیستم شکستگی سازند آسماری

در حالت دوم آب باریده شده تجمع پیدا کرده و مسیر خود را از طریق یک مجرای عمودی به طرف زون اشباع ادامه می‌دهد که نشان از افزایش بلوغ سیستم‌های انتقالی کارست می‌باشد هرچند نمایه‌های سطحی این گونه سیستم‌های مجرایی توسعه یافته در منطقه آسماری دیده نمی‌شود. بخشی از تغذیه آلوژنیک آبخوان نیز همان طور که در مدل مفهومی ذکر شده می‌شود ناشی از نشت آب از سازند گچساران در تماس با سازند آسماری است، به دلیل وجود توالی اتحلال پذیر در این سازند آب نشی از آن به آبخوان کارستی به عنوان یکی از عوامل افزایش دهنده‌های املاح و مواد موجود در آب آبخوان آسماری عمل می‌نماید(ناصری و علیجانی ۱۳۸۵). لازم به ذکر است که با توجه به اینکه مطالعات زیر سطحی خالصی در منطقه صورت نگرفته لذا بیان دقیق خصوصیات بخش اشباع آبخوان تنها بر اساس سیستم‌های کلی حاکم بر کارست می‌باشد، به هر حال آب نفوذی از طریق مجرای فرو برنده یا سیستم درزه و شکاف با حرکت عمودی به سطح آب کارست می‌رسد و در کانال‌های کوچک، شکستگی‌ها و منافذ اولیه آهک ذخیره سپس در راستای نزدیک به افق از طریق مجرای منتهی به یک مجرای زیرزمینی، به سمت چشمه گرو حرکت داده می‌شود. علاوه بر تغذیه‌های رو سطحی منابع تغذیه کننده زیر سطحی نیز برای این آبخوان در نظر گرفته شده است. همانطور که در مدل مفهومی آبخوان کارستی آسماری اشاره شده است انتقال آلایندگان نفتی و وجود شورابه‌های نفتی در خروجی اصلی تقدیس می‌تواند نشان دهنده ورود این آلاینده‌ها از مخازن نفتی موجود در منطقه باشد (شکل ۷ و ۸)

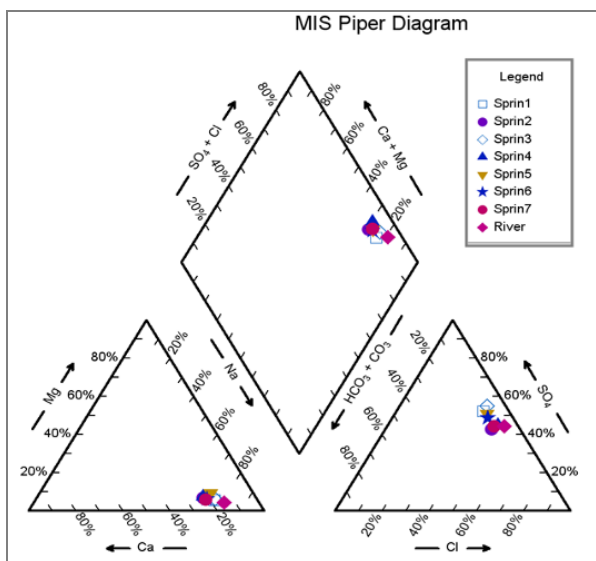
بررسی لاغ چاه اکتشافی حفر شده در مجاورت چشمه وجود یک زون به شدت خرد شده به همراه مواد نفتی را در بخش‌های بالای چشمه تائید کرده است.
شکل (۱۲)



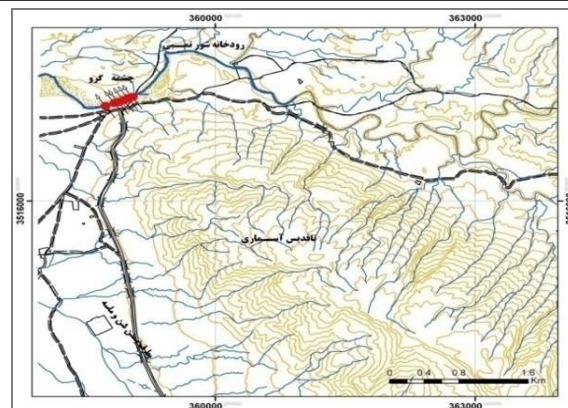
شکل ۱۲. نمایی از چاه اکتشافی موجود در بخش بالای چشمه گرو

بررسی هیدروژئو شیمیایی منابع آب منطقه

همانطور که بیان گردید اصلی ترین تخلیه کننده آب تاقدیس آسماری چشمه گرو می‌باشد به همین دلیل بیشتر مطالعات هیدروژئو شیمیایی صورت گرفته در منطقه بر روی دهانه‌های متعدد این چشمه و منابع آب مجاور آن متتمرکز شده است (جدول ۲). جهت تعیین تیپ آب، رخساره‌های هیدروژئو شیمیایی و مسیرهای تکامل هیدروژئو شیمیایی آبخوان، نمودارهای پایپر نمونه‌های آب زیرزمینی و سطحی محدوده آسماری ترسیم شد. شکل (۱۳)



شکل ۱۳. نمودار پایپر نمونه‌های آب محدوده آسماری



شکل ۹. موقعیت رخمنون چشمه‌های گرو در منطقه مورد مطالعه



شکل ۱۰. نمایی از یکی از دهانه‌های پر آب چشمه گرو

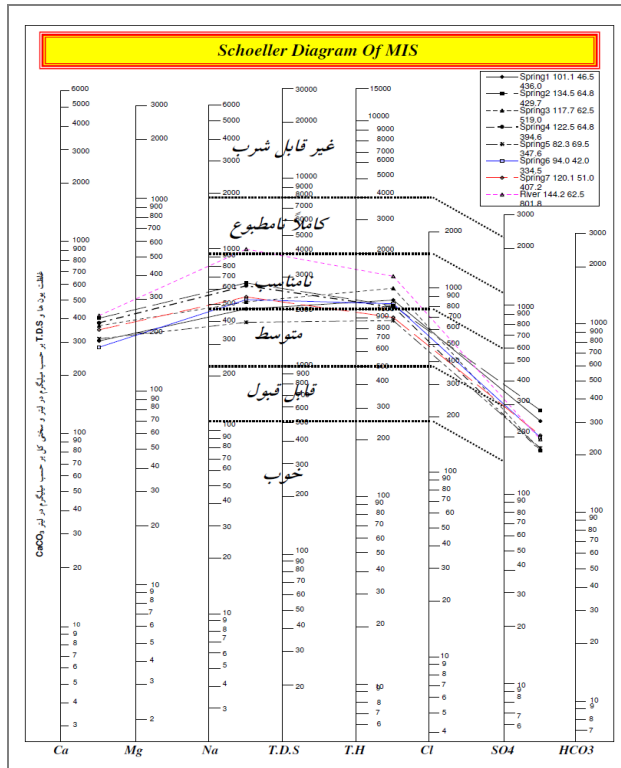
چشمه گرو در تقسیم بندی‌ها هیدرولوژیکی در گروه چشمه‌های معدنی گوگردی قرار می‌گیرد و دارای خواص درمانی می‌باشد که در حال حاضر نیز اهالی منطقه با ایجاد استخرهای دست ساز در دهانه‌های چشمه در آن استحمام می‌کنند ولی شدت گاز سولفید هیدروژن به حدی است که به سرعت باعث سرد درد شده و ایستادن در مجاورت چشمه را سخت می‌کند. بررسی زمین شناسی ساختمانی چشمه گرو نشان می‌دهد این از نوع چشمه‌ی درزه‌ای - گسلی بوده و احتمالاً راستای گسل ایجاد کننده چشمه هم راستا گسل‌ش اصلی تاقدیس آسماری به موارد محور چین می‌باشد. شکل (۱۱)



شکل ۱۱- نمایی از آهک به شدت خرد شده در مجاورت روحانه شورتمبی و دهانه چشمه

جدول ۲- مقادیر پارامترهای کیفی اندازه گیری شده بر اساس میلیگرم بر لیتر

محل نمونه برداری	X	Y	EC	Ca ⁺⁺	Mg ⁺⁺	Na ⁺	HCO ₃ ⁻	Cl ⁻	SO ₄ ²⁻	Na/Cl
spring ۱	۳۵۹۰۰۴	۳۵۱۷۴۴۷	۳۸۳۰	۳۶۸۰	۶۳۳/۶	۱۷۸۶۴/۳۳	۱۸۶۰۵	۲۷۷۲۵/۵	۵۱۸۴۰	۰/۶۴
spring ۲	۳۵۸۸۷۲	۳۵۱۷۳۹۹	۴۸۲۳	۴۸۰۰	۸۶۴	۱۷۶۰۸/۵۷	۲۱۲۰۹/۷	۳۸۴۳۷/۶۳	۴۸۲۸۴	۰/۴۶
spring ۳	۳۵۸۸۸۲	۳۵۱۷۳۹۶	۴۴۶۰	۴۲۴۰	۸۳۵/۲	۲۱۲۱۲/۹	۱۳۰۲۳/۵	۳۰۲۸۱/۵	۵۹۹۰۴	۰/۷۰
spring ۴	۳۵۸۸۷۱	۳۵۱۷۳۸۷	۴۲۹۰	۴۴۰۰	۸۴۶	۱۶۱۸۷/۴	۱۳۰۲۳/۵	۳۷۱۷۷/۳۸	۴۷۴۶۲/۴	۰/۴۳
spring ۵	۳۵۸۸۴۵	۳۵۱۷۳۸۷	۳۴۴۷	۳۰۴۰	۹۲۱/۶	۱۴۲۸۳	۱۳۳۹۵/۶	۲۲۴۳۷/۱	۴۰۳۲۰	۰/۶۱
spring ۶	۳۵۸۸۱۸	۳۵۱۷۳۵۷	۳۳۷۰	۳۴۴۰	۵۷۶	۱۳۷۵۴	۱۵۲۵۶/۱	۳۱۱۵۱/۲۵	۴۹۵۳۶	۰/۴۴
spring ۷	۳۵۸۷۹۲	۳۵۱۷۳۵۷	۳۹۸۳	۴۳۲۰	۶۹۱/۲	۱۶۶۹۸	۱۵۶۲۸/۲	۳۲۲۶۲/۴	۴۱۸۸۴/۸	۰/۵۲
river	۳۵۸۷۱۳	۳۵۱۷۳۷۷	۶۵۸۸	۵۱۲۰	۸۳۵/۲	۳۲۵۸۶/۴	۱۴۸۸۴	۵۸۸۵۳/۶۸	۶۹۳۵۰/۴	۰/۵۵

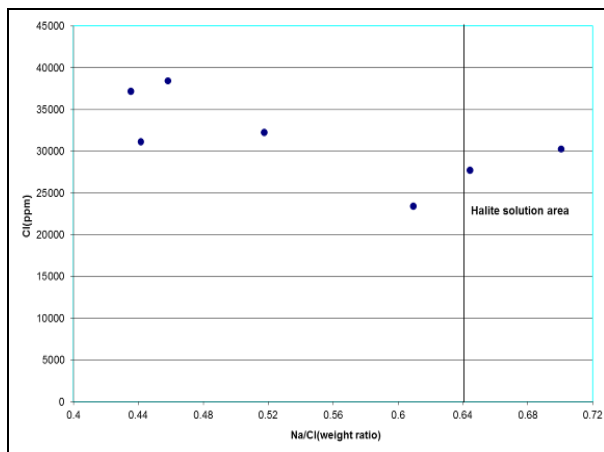


شکل ۱۴- نمودارهای شولر نمونه‌های آب محدوده آسماری

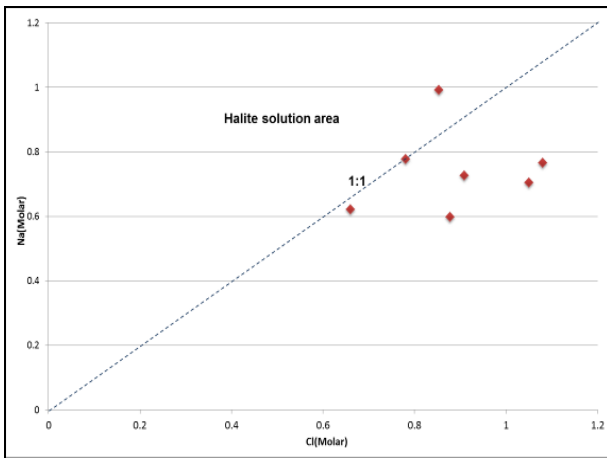
بررسی علل شوری منابع آب منطقه

با توجه به وضعیت عمومی منطقه و شواهد موجود، همچنین مشاهدات زمینی دو عامل اصلی ورود شورابه‌های نفتی و هالیت اتحلال یافته به سیستم کارستی می‌تواند باعث کاهش کیفیت و شوری شدید آب چشممه گرو گردد. Leonard and Ward ۱۹۶۲ از نسبت وزنی Na/Cl برای تمایز شورابه‌های حاصل از اتحلال نمک از شورابه‌های نفتی استفاده کردند در این بررسی مشخص گردید که نسبت وزنی Na/Cl در شورابه‌های حاصل از اتحلال هالیت بیش تر از ۰/۶ است (نسبت مولی برابر با ۱ و نسبت وزنی برابر با ۰/۶۴۸) و در شورابه‌های نفتی این نسبت به کمتر از ۰/۶ می‌رسد، همچنین این نسبت با افزایش میزان کلر در شورابه‌های نفتی کاهش پیدا می‌کند.

بر اساس نتایج آنالیز نمونه‌های برداشتی از منابع تاقدیس آسماری تیپ منابع آب موجود از نوع کلروره سدیک و سولفاته سدیک می‌باشد. در بررسی اولیه و بر اساس مشاهدات به نظر می‌رسید اختلاط آب بی‌کربناته کلسیک موجود در سیستم آبخوان کارستی آسماری با شورابه نفتی بالا رونده از طریق گسل پی سنگی آسماری و احلال ژیپس موجود در سازند گچساران که در مجاورات تاقدیس قرار گرفته، باعث تخریب کیفی آب چشممه گرو شده است. رخمنون قیر در اطراف مظہر چشممه گرو و وجود گاز سولفید هیدروژن محلول در آب چشممه، نمایانگر احتمال مشارکت شورابه نفتی در تغذیه آب چشممه گرو می‌باشد. رودخانه‌ی شور تمبی نیز به دلیل مجاورت با چشممه گرو مورد نمونه برداری و آنالیز شیمیایی قرار گرفت، بر اساس این آنالیزها تیپ آب رودخانه‌ی مذکور نوع سولفاته سدیک با هدایت الکتریکی برابر با ۶۵۸۸ میکرو موهس بر سانتی متر می‌باشد و در نمودار پاییر در مجاورت نمونه‌های حاصل شده از چشممه گرو قرار می‌گیرند. این رودخانه در مسیر عوری خود در مجاورت چشممه و پس از دریافت شورابه جاری از چشممه‌های نمک قلعه مدرسه دارای رخساره کلرو سدیک می‌شود. وجود رسوبات نمکی در کف رودخانه تمبی مربوط به خروجی چشممه گرو در دوره‌های خشک رودخانه و اتحال آنها در دوره‌های تر رودخانه باعث ایجاد استرس‌های کیفی در آب رودخانه می‌شود لذا افزایش دبی رودخانه در ابتدای فصول تر چندان نمی‌تواند باعث کاهش مقدار هدایت الکتریکی این رودخانه گردد. این رودخانه در مسیر خود از ورودی‌های دیگری نیز تغذیه می‌شود که برخی از منابع کارستی بوده بنابراین در ادامه مسیر تیپ آب این رودخانه متغیر خواهد بود. تعیین کیفیت نمونه‌های آب محدوده مطالعاتی به کمک نمودار شولر صورت پذیرفت، براساس این نمودار تشابه‌الگویی زیادی بین ترکیب آب دهانه‌های مختلف چشممه گرو با رودخانه شور تمبی دیده می‌شود. شکل (۱۴) همان‌طور که در شکل (۱۴) مشاهده می‌شود یون SO₄, Cl, Na در تمامی نمونه بیشترین و یون Mg کمترین غلظت را دارا می‌باشند. با توجه به نمودار شولر ترسیم شده از لحظه شرب، نمونه‌های مورد بررسی در این مطالعه در گروه نامناسب قرار می‌گیرند. نمودار شعاعی منابع آب انتخابی در محدوده مطالعاتی جهت بررسی و مقایسه همزمان رخساره‌ها و تفکیک رخساره‌های هیدروشیمیایی نیز ترسیم گردید(شکل ۱۵). نمونه‌های آب چشممه گرو و رودخانه‌الگوی مشابه در نمودارهای شعاعی نشان می‌دهند. در این نمودارها یونهای کلر، سولفات و سدیم دارای بیشنه غلظت می‌باشند که این شرایط ممکن وجود منابع شوری در محدوده آسماری و تداخل آن با آب‌های کارستی سازند آسماری می‌باشد

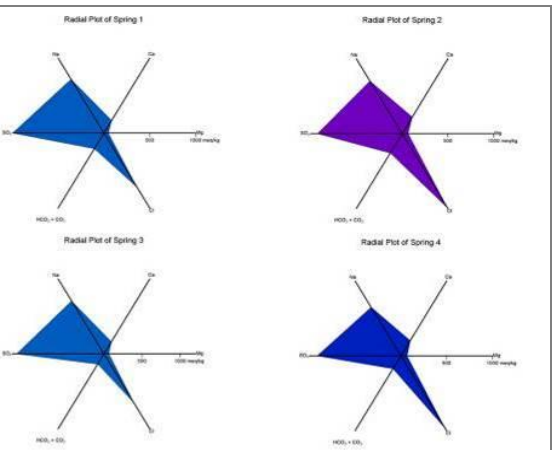
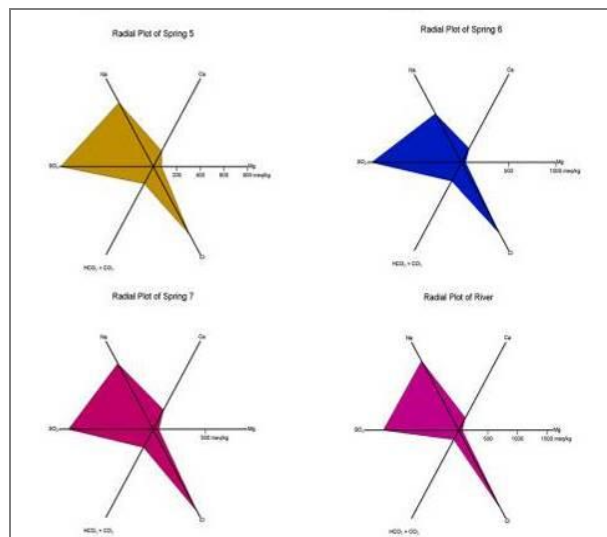


شکل ۱۶. نمودار نسبت وزنی سدیم / کلر در مقابل کلر



شکل ۱۷. نمودار نسبت مولی کلر در مقابل سدیم و خط ۱:۱

این روش را در مورد منطقه مورد مطالعه دچار مشکل می‌کند وجود همزمان هر دو عامل شوری در مجاورت منابع آب می‌باشد. انحلال ژیپس موجود در سازند گچساران موجود در مجاورت آبخوان باعث افزایش مقدار سولفات در تمامی نمونه‌های برداشتی شده است ولی وجود شواهد سطحی و نسبت‌های موجود بین یون سدیم و کلر وجود شورابه‌های نفتی را نیز تأیید می‌کند. بر این اساس می‌توان گفت اختلاط سه گروه آب شامل آب کارست، آب‌های حاصل از انحلال بین لایه‌های سازند گچساران (انحلال هالیت و ژیپس) و شورابه‌های نفتی مخازن موجود در منطقه وجود داشت. برای بررسی اختلاط منابع آب موجود در منطقه از نمودارهای ترکیبی استفاده گردید. این نمودارها ابزار مفیدی در تعیین اختلاط منابع آب می‌باشند (Mazor, 1991). با توجه به اهمیت یون کلر و پراکنش آن در محیط‌های آبی، نمودار این یون در مقابل مجموع یون‌ها موجود ترسیم شد. شکل (۱۸) جهت تفسیر نمودار ترکیبی از الگوهای موجود که توسط Mazor, 1991 ارائه گردیده است استفاده شد. بررسی الگوی پراکنش نمونه‌ها در نمودار پراکنشی مثلثی را نشان می‌دهد، این الگوی معرف اختلاط سه تیپ آب با خصوصیات مختلف در منابع آب مورد بررسی می‌باشد که این امر تایید کننده شواهد موجود در منطقه می‌باشد. بنابراین می‌توان بیان نمود که تاثیر همزمان دو



شکل ۱۵. نمودارهای شعاعی نمونه‌های آب انتخابی محدوده آسماری

در این پژوهش نیز به منظور تعیین نوع شورابه‌های خارج شده از چشمeh گرو مقادیر نسبت وزنی سدیم در مقابل کلر همچنین نسبت مولی این دو یون، در چشمeh مذکور پرداخته شد و نتایج پس از محاسبه به کمک نمودار نسبت وزنی سدیم به کلر در مقابل کلر و نمودار نسبت مولی کلر در مقابل سدیم ارائه شده است (Whittemore, 1984) (شکل ۱۶ و ۱۷). نمودار نسبت وزنی سدیم به کلر نشان می‌دهد که از مجموعه خروجی‌های موجود در محدوده گرو دو دهانه دارای نسبت وزنی سدیم به کلر بالای ۰/۶۴۸ و نسبت مولی بالای ۰/۹۹ هستند (انحلال هالیت) و در سایر دهانه این نسبت‌های وزنی کمتر از ۰/۶ می‌باشد. وضعیت پراکنش مولی نمونه‌ها در اکثر خروجی‌های چشمeh موبید تاثیر شورابه‌های نفتی را بر منابع آب تقدیس می‌باشد. دلیل پائین بودن نسبت وزنی و مولی سدیم به کلر در شورابه‌های نفتی تبادل یونی سدیم و خروج آن از محیط در طی زمان می‌باشد لذا در طی زمان با خروج و کاهش مقادیر سدیم در محیط شورابه نفتی و عدم واکنش کلر با سایر یون‌ها، به نسبت، مقدار سدیم کاهش و مقدار کلر افزایش می‌یابد از دیگر مشخصات شورابه‌های نفتی کم بودن سولفات شورابه‌ها نفتی در مقایسه با شورابه‌های هالیتی است. عموماً نسبت $\text{Ca}+\text{Mg}/\text{SO}_4$ شورابه‌های نفتی از ۱ و در مورد شورابه‌های هالیت برابر ۱ است. عاملی که استفاده از

این کاهش غلظت را می‌توان به حاکم بودن شرایط اکسیدی در سطح و هنگام خروج آب نسبت داد.

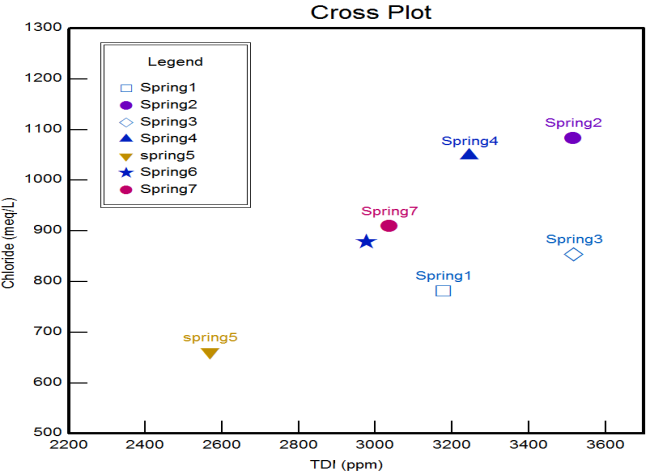
در این شرایط، این عناصر از حالت محلول خارج شده و جایگاه‌های مناسبی جهت رسوب در کانیهای اکسیدی آهن می‌یابند (Fetter, 1994). عدم وجود وانادیوم در نمونه‌ها نیز می‌تواند مرتبط با این موضوع باشد، د) عناصری مانند نیکل و فسفر در غلظت‌های بالا یافت می‌شوند که حتی با وجود شرایط رسوب‌گذاری در آب هنوز بصورت محلول دیده می‌شوند. فراوانی این عناصر به همراه آرسنیک می‌تواند ناشی از فعالیت زیستی باکتری‌ها در محیط و به خصوص در محیط‌های احیایی باشد که باعث احیای آرسنات به آرسنیت و آزاد شدن آرسنیک (به صورت آرسنیت) در آب زیرزمینی می‌شود. این باکتری‌ها انرژی مورد نیاز خود را از اکسایش بی‌هوازی مواد آلی به دست می‌آورند. نمونه‌ای از مواد آلی مذکور، "مواد آلی مرتبط با هیدروکربن‌های نفتی" (PROMs) هستند که وجود آن‌ها در مطالعات آتی به اثبات رسیده است. نتیجه اکسایش این مواد، از یک سو احیای آرسنات و اکسی-هیدروکسیدهای کلوویدی آهن و منگنز سه ظرفیتی و در نتیجه آزاد شدن آهن و منگنز و آرسنیک و از سوی دیگر آزاد شدن عناصر تشکیل دهنده ماده آلی (مثلاً در مورد مواد هیدروکربنی آزاد شدن نیکل و وانادیوم و فسفر) خواهد بود (رضائی، ۱۳۸۴).

آنالیز کروماتوگرافی گازی

آلکانهای نرمال، بصورت خاص، پیک‌های اصلی را در کروماتوگرام‌های گازی نفت‌های بالغ تشکیل می‌دهند. الگوی توزیع آلکان‌های نرمال به نوع ماده آلی، بلوغ حرارتی، مهاجرت و تجزیه زیستی بستگی دارد. در نتیجه تخریب زیستی، پارافین‌های نرمال قبل از هر نوع ترکیب دیگری (ایزوپرپنوتیدهای غیرحلقوی و ترکیبات حلقوی) از بین می‌روند. در نتیجه شدیداً تجزیه شده در مقایسه با انواع تجزیه نشده، نسبت‌های Ph/nC₁₈ و Pr/nC₁₈ مقادیر بالایی را نشان می‌دهند. کاهش فراوانی آلکان‌های نرمال فرار (C₁₅)، می‌تواند به دلیل بلوغ حرارتی پایین، مهاجرت (جداش فازی)، هوازدگی و یا فرایندهای آبشوئی صورت گیرد. کروماتوگرام گازی مربوط به هیدروکربور استخراج شده از نمونه خاک سطحی سه نکته جالب توجه را نشان می‌دهد:

- حذف آلکان‌های نرمال فرار (C₁₅)، ۲- کاهش فراوانی آلکان‌های نرمال در محدوده C₁₆-C₂₂، ۳- افزایش فراوانی ایزوپرپنوتیدهای غیرحلقوی به منظور تعیین منشاء احتمالی هیدروکربور موجود در این نمونه ابتدا می‌بایست علت کاهش و افزایش فراوانی گروههای مختلف هیدروکربوری را مشخص نمود. آلکانهای نرمال فرار (C₁₅) به طور طبیعی همزمان با استخراج هیدروکربور از نمونه تبخیر شده و از بین می‌روند. کاهش فراوانی آلکان‌های نرمال در محدوده C₁₆-C₂₂ می‌تواند به دلیل تأثیر تخریب زیستی باشد. آلکان‌های نرمال با وزن مولکولی پایین اولین ترکیباتی می‌باشند که در معرض تخریب زیستی قرار می‌گیرند. این ترکیبات در مقایسه با همولوگ‌های با وزن مولکولی بالا از حساسیت بالایی برخوردارند، و در سطوح پایین تخریب زیستی اولین ترکیباتی هستند که از بین می‌روند. یکی دیگر از نکات جالب توجه که در کروماتوگرام مربوط به این نمونه مشاهده می‌شود افزایش فراوانی ایزوپرپنوتیدهای غیرحلقوی است. از جمله مهمترین ترکیبات ایزوپرپنوتیدی غیرحلقوی، پریستان (Pristane, Pr) و فیتان (Phytane, Ph) را می‌توان نام برد که به ترتیب در مجاورت آلکان‌های نرمال C₁₈ و C₁₇ ظاهر می‌شوند. شکل (۱۹)

سیستم شورابه نفتی و انحلال بین لایه‌ای زیپسی سازند گچساران بر منابع آب سازند آسماری باعث شوری آب و ایجاد پیچیدگی در تحلیل نمونه‌های این چشممه گردیده است. اثر انحلال زیپس سازند گچساران و اختلاط آبهای سولفاته با آب چشممه در چند خروجی باعث وجود تنوعی از تیپ آب کلروره سدیک و سولفاته سدیک در خروجی‌ها شده است که این روند را می‌توان در نمودار پایپر نیز مشاهده کرد. شکل (۱۳). با توجه به وضعیت عمومی چشممه به نظر می‌رسد ارتباط چشممه با آبخوان‌های آبرفتی مجاور همچنین نحوی ورود شورابه نفتی به آبخوان کارستی عامل تفاوت در تیپ آب برخی از خروجی‌ها می‌باشد



شکل ۱۸. نمودار ترکیبی مجموع بون‌ها در مقابل بون کلر

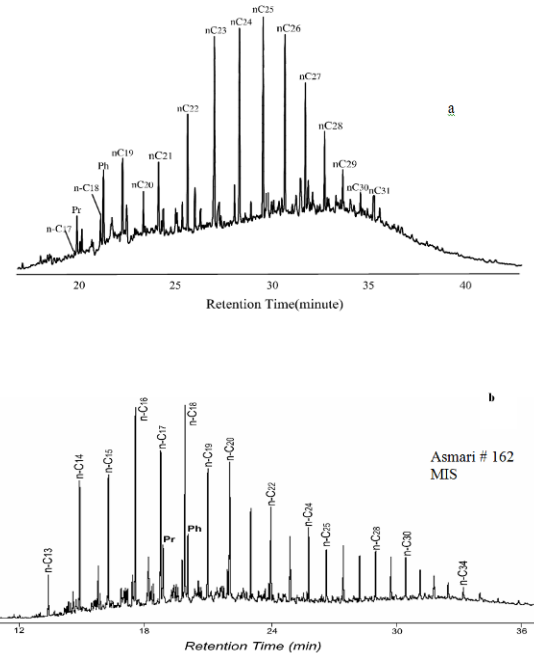
بررسی هیدروژنوشیمیایی منابع آب منطقه جهت عناصر کمیاب

عناصر کمیاب، تاثیر به سزایی در هیدروژنوشیمی و کیفیت منابع آب زیرزمینی دارند و بررسی هیدروژنوشیمیایی این منابع بدون پرداختن به عناصر مذکور ارزش چندانی ندارد. غلظت این عناصر در محیط آبخوان به شدت تحت تاثیر شرایط حاکم بر محیط آبخوان بوده (منظور دما، pH، Eh، دورت...) و در بسیاری از موارد افزایش غلظت آن بدون تغییر دادن رنگ، طعم، بو و سایر خصوصیات فیزیکی آب باعث از دست رفتن کیفیت مطلوب و نوعاً سمعی شدن آب می‌شود. در این پژوهش جهت بررسی کیفیت آب‌های منطقه مورد مطالعه از نقطه نظر مقادیر عناصر کمیاب و استفاده از این عناصر بعنوان نشانگر آلودگی‌های با منشا متفاوت عناصر مختلف (نzedیک به ۶۰ عنصر) چون آرسنیک، آهن، منگنز، نیکل و وانادیوم اندازه‌گیری شده و منظر قرار گرفته است. تعداد ۹ نمونه از آب چشممه‌های موجود در دماغه تاقدیس آسماری توسط دستگاه ICP در سازمان زمین‌شناسی تحت آنالیز قرار گرفته که نتایج حاصل در جدول ۳ ارائه گردیده است.

از میان عناصر مذکور عنصر آرسنیک نیکل، آهن، وانادیوم، منگنز و فسفر جهت ردیابی آلودگی‌های نفتی و تعیین منشا این آلودگی‌ها بیشتر مد نظر بوده اند. نگاه اجمالی به نتایج حاصل از این آنالیز‌ها نشان می‌دهد که: (الف) تقریباً تمام نمونه‌ها بر طبق استاندارد سازمان بهداشت جهانی (۲۰۰۴) دارای آرسنیک بالاتر از مقدار مجاز آب شرب (۱۰ ppb) هستند. (ب) میانگین غلظت آهن در نمونه‌ها نشان می‌دهد که آبهای منطقه بطور کلی آلوده به آهن نیستند. لذا غلظت پایینی آهن می‌تواند ناشی از رسوب سریع آهن در محیط باشد، که وفور کانی‌های آهن دار در منطقه این موضوع را تأیید می‌کند (Fetter, 1994). (ه) غلظت عناصر کمیابی نظیر آهن، منگنز و کبالت و کروم در نمونه‌های منطقه بسیار کم است که

جدول ۳. نتایج حاصل از آنالیز ICP بر روی نمونه های آب برداشت شده از منطقه

شماره	AS-۲	AS-۲	AS-۳	AS-۴	AS-۵	AS-۶	AS-۷	AS-۹
کد	۴۰۴۸	۴۰۴۹	۴۰۵۰	۴۰۵۱	۴۰۵۲	۴۰۵۳	۴۰۵۴	۴۰۵۵
Ag	</۰۹۱	</۰۳۷	</۰۳۱	</۰۲۹	</۰۳	</۰۲۲	</۰۲۲	</۰۳۱
AL	</۰۱۵	</۰۱۶	</۰۸	</۰۲۸	</۰۲۲	</۰۱۲	</۰۱۴	</۰۱۳
AS	</۰۲۶۳	۱/۵۹۵	</۰۱۳	</۰۳۲۴	</۰۲۸	</۰۱۳۱	</۰۱۲	</۰۱۴۲
Ba	</۰۷۴۹	</۰۱۷۸	</۰۱۷۳	</۰۱۷۲	</۰۱۸۱	</۰۱۱۲	</۰۱۳۱	</۰۲۶۸
Bi	</۰۵۹	</۰۳۵	</۰۳۲	</۰۲۷	</۰۳۷	</۰۲۷	</۰۴	</۰۴
Ca	۲۲۷/۹۸	۱۱۷/۰۱	۱۱۲/۰۹	۱۱۸/۴۳	۱۳۴/۹۶	۶۸/۶۰	۸۸/۰۴	۱۸۴/۶۶
Cd	</۰۰۱	</۰۰۱	</۰۰۱	</۰۰۱	</۰۰۱	</۰۰۱	</۰۰۱	</۰۰۱
Ce	</۰۰۱	</۰۰۱	</۰۰۱	</۰۰۱	</۰۰۱	</۰۰۱	</۰۰۱	</۰۰۱
Co	</۰۰۴	</۰۰۵	</۰۰۵	</۰۰۵	</۰۰۶	</۰۰۴	</۰۰۴	</۰۰۴
Cr	</۰۰۱	</۰۰۱	</۰۰۱	</۰۰۱	</۰۰۱	</۰۰۱	</۰۰۱	</۰۰۱
Cu	</۰۰۷	</۰۰۱	</۰۰۱	</۰۰۱	</۰۰۱	</۰۰۱	</۰۰۱	</۰۰۱
Dy	</۰۰۱	</۰۰۱	</۰۰۱	</۰۰۱	</۰۰۱	</۰۰۱	</۰۰۱	</۰۰۱
Er	</۰۰۱	</۰۰۱	</۰۰۱	</۰۰۱	</۰۰۱	</۰۰۱	</۰۰۱	</۰۰۱
Eu	</۰۰۱	</۰۰۱	</۰۰۱	</۰۰۱	</۰۰۱	</۰۰۱	</۰۰۱	</۰۰۱
Fe	</۰۱۱	</۰۰۹	</۰۰۵	</۰۰۳	</۰۰۶	</۰۰۹	</۰۰۴	</۰۰۲
Gd	</۰۰۱	</۰۰۱	</۰۰۱	</۰۰۱	</۰۰۱	</۰۰۱	</۰۰۱	</۰۰۱
Hf	</۰۰۱	</۰۰۱	</۰۰۱	</۰۰۲	</۰۰۲	</۰۰۱	</۰۰۲	</۰۰۲
Ir	</۰۰۷	</۰۰۱	</۰۰۸	</۰۰۱	</۰۰۵	</۰۰۱	</۰۰۱	</۰۰۱
K	۲۲/۱۳۷	۱۸/۱۳	۱۷/۰۹۱	۱۴/۹۶۹	۱۳/۲۹۱	۱۳/۱۶	۱۴/۷۲	۱۶/۸۸۳
La	</۰۵۳	</۰۴۲	</۰۴۵	</۰۴۵	</۰۴۵	</۰۳۸	</۰۴۴	</۰۴۹
Mg	۴۰/۱۷	۴۲/۹۲	۴۳/۶۵۶	۴۵/۵۳	۵۰/۴۵۷	۷۹/۹۹	۳۷/۸۲	۴۲/۰۷۷
Mn	</۰۰۹	</۰۰۶	</۰۰۵	</۰۰۱	</۰۰۵	</۰۰۴	</۰۰۱	</۰۰۱
Mo	</۰۲۲	</۰۱۷	</۰۱۳	</۰۱۱	</۰۱۲	</۰۱	</۰۱۳۳	</۰۱۱
Na	۶۷/۹۱۸	۱۳/۰۸	۱۲/۸۶۳	۱۲/۹۳۳	۱۴/۵۱۸	۷/۲۸۹	۹/۱۴۴	۲۳/۸۰۱
Nd	</۰۰۴	</۰۰۱	</۰۰۱	</۰۰۱	</۰۰۱	</۰۰۱	</۰۰۱	</۰۰۱
Ni	</۰۰۳	</۰۰۱	</۰۰۱	</۰۰۳	</۰۰۱	</۰۰۲	</۰۰۴	</۰۰۱
P	</۱۷۱	</۱۷۲	</۱۷۴	</۱۷۶	</۱۷۲	</۱۷۲	</۱۷۲	</۱۷۱
Pb	</۰۰۴	</۰۰۴	</۰۰۴	</۰۰۴	</۰۰۴	</۰۰۴	</۰۰۴	</۰۰۴
Re	</۱۱۲	</۰۳۲	</۰۳۷	</۰۳۷	</۰۴۴	</۰۲۲	</۰۳۱	</۰۳۳
Rh	</۰۰۴	</۰۰۴	</۰۰۴	</۰۰۴	</۰۰۴	</۰۰۴	</۰۰۴	</۰۰۴
Ru	</۰۰۴	</۰۰۴	</۰۰۴	</۰۰۴	</۰۰۳	</۰۰۳	</۰۰۳	</۰۰۴
Sb	</۲۷۹	</۷	</۹۹	</۱۷۱	</۱۶	</۷۷	</۶	</۱۰۴
Sc	</۰۰۱	</۰۰۱	</۰۰۱	</۰۰۱	</۰۰۱	</۰۰۱	</۰۰۱	</۰۰۱
Se	</۰۰۸	</۰۱۷	</۰۰۹	</۰۰۸	</۰۰۵	</۰۰۵	</۰۰۶	</۰۰۵
Si	۲/۰۳۱	۲/۹۲۵	۳/۱۸۷	۳/۰۹۴	۳/۲۳۲	۲/۵۶۴	۲/۹۲۸	۲/۹۱۱
Sm	</۰۰۷	</۰۰۴	</۰۰۴	</۰۰۴	</۰۰۴	</۰۰۳	</۰۰۳	</۰۰۴
Sr	۳/۷۵۴	۴/۹۸۶	۴/۹۸۷	۵/۰۵۸	۵/۲۱۸	۴/۳۰۹	۴/۸۲۸	۴/۶۳۹
Ta	</۰۲۵	</۰۱۵	</۰۱۷	</۰۱۸	</۰۱۳	</۰۱۵	</۰۱۵	</۰۱۶
Tb	</۰۰۱	</۰۰۱	</۰۰۱	</۰۰۱	</۰۰۱	</۰۰۱	</۰۰۱	</۰۰۱
Te	</۰۰۴	</۰۰۴	</۰۰۴	</۰۰۴	</۰۰۴	</۰۰۴	</۰۱۱	</۰۰۴
Th	</۰۰۴	</۰۰۳	</۰۰۳	</۰۰۳	</۰۰۳	</۰۰۲	</۰۰۲	</۰۰۳
Ti	</۰۰۲	</۰۰۲	</۰۰۲	</۰۰۲	</۰۰۲	</۰۰۲	</۰۰۲	</۰۰۲
Tm	</۰۰۱	</۰۰۱	</۰۰۱	</۰۰۱	</۰۰۱	</۰۰۱	</۰۰۱	</۰۰۱



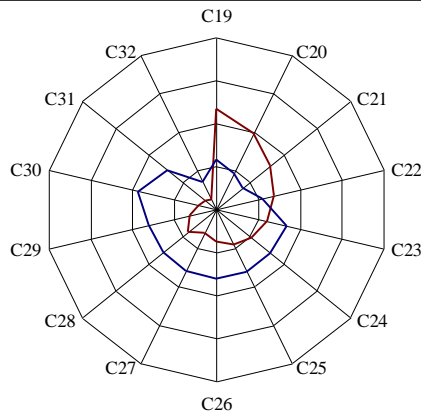
شکل ۱۹. کروماتوگرام گازی بدست آمده از هیدروکربور استخراج شده از نمونه خاک سطحی(a). کروماتوگرام گازی نفت مخزن آسماری در میدان مسجدسلیمان(b).

رسم دیاگرام ستاره‌ای آلkan‌های نرمال جهت تطابق نمونه نفت با نفت مخزن آسماری نشان می‌دهد که توزیع و پراکندگی آلkan‌های نرمال در دو نمونه اختلاف قابل توجهی را نشان می‌دهد(جدول ۴ و شکل ۲۰)، اما دیاگرام ستاره‌ای ترسیم شده از روی نسبت آلkan‌های نرمال نشان می‌دهد که با وجود اختلاف قابل توجه در فراوانی نرمال آلkan‌ها، اما نسبت‌های این ترکیبات اختلاف اندکی را نشان می‌دهد(جدول ۵ و شکل ۲۱). بنابراین در کل می‌توان نتیجه گرفت که منشاء آبودگی نفتی نمونه‌های مورد مطالعه نفت مخزن آسماری در میدان نفتی مسجدسلیمان بوده که بشدت مورد تجزیه زیستی قرار گرفته‌اند.

ایزوپرینوئیدهای غیرحلقوی در مقابل تخریب زیستی مقاومت از پارافین‌ها بوده لیکن مقاومت آنها کمتر از بیومارکرهای حلقوی (استران‌ها و هوپان‌ها) می‌باشد. افزایش فراوانی ایزوپرینوئیدهای پریستان و فیتان در مقایسه با نرمال آلkan‌های C₁₇ و C₁₈ نشان می‌دهد که تخریب زیستی بر روی این نمونه نیز تأثیر داشته، ولی شدت آن پایین تا متوسط می‌باشد. با توجه به اینکه نرمال آلkan‌ها و ایزوپرینوئیدها اولین ترکیباتی می‌باشند که در اثر فرایندهای تخریب زیستی از بین می‌روند، بنابراین زمانیکه شدت این فرایند در حد متوسط باشد، آلkan‌های نرمال C₁₇ و C₁₈ تبدیل به ایزوپرینوئیدهای پریستان و فیتان می‌شوند اما فراوانی آنها کاهش می‌باشد، برخلاف آن فراوانی ایزوپرینوئیدهای پریستان و فیتان افزایش می‌باشد.

جدول ۴. آلkan‌های نمونه‌های مورد مطالعه در مقایسه با نفت مسجدسلیمان

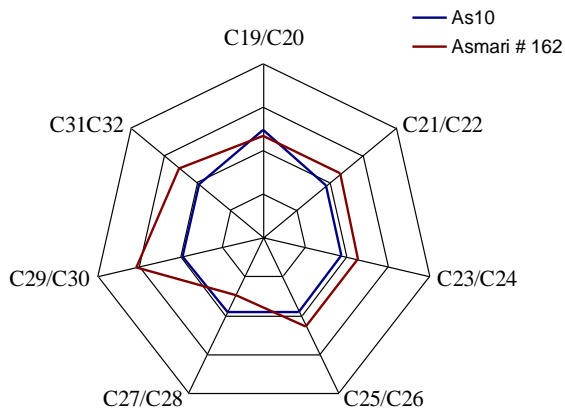
	As ۱۰	Asmari # ۱۶۲
C _{۱۹}	۱۱/۷	۵/۷۶
C _{۲۰}	۹/۹۲	۴/۶۲
C _{۲۱}	۸/۰۸	۳/۹۵
C _{۲۲}	۶/۹	۵/۴۷
C _{۲۳}	۶	۸/۳۸
C _{۲۴}	۵/۲۶	۸/۰۵
C _{۲۵}	۴/۵۴	۸/۰۸
C _{۲۶}	۳/۸	۸/۰۶
C _{۲۷}	۳/۰۴	۷/۹۲
C _{۲۸}	۴/۱۶	۷/۹۳
C _{۲۹}	۳/۱۷	۸/۰۲
C _{۳۰}	۲/۰۷	۹/۳۴
C _{۳۱}	۱/۶	۷/۲۵
C _{۳۲}	۱/۲۶	۳/۵۱



شکل ۲۰. دیاگرام شعاعی آلkanهای نفت منطقه با نفت مسجدسلیمان

جدول ۵. نسبت آلkanهای نمونه های مورد مطالعه در مقایسه با نفت مسجدسلیمان

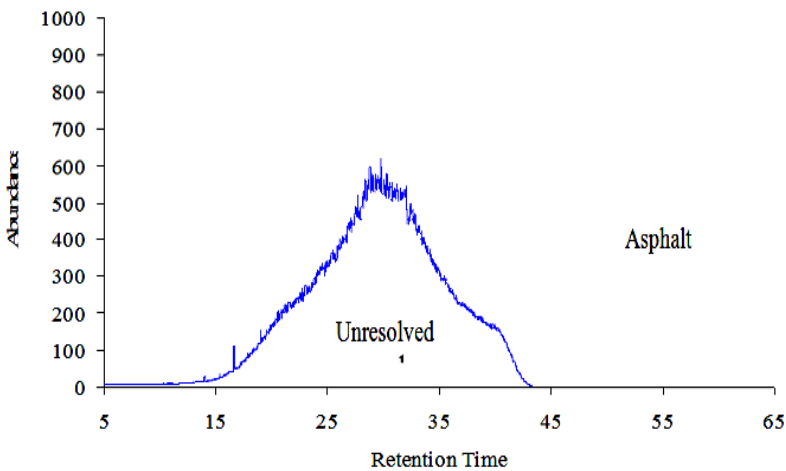
	As1.	MIS۱۶۲
C _{۱۹} /C _{۲۰}	۱/۲۴	۱/۱۷
C _{۲۱} /C _{۲۲}	۰/۹۵	۱/۱۷
C _{۲۳} /C _{۲۴}	۰/۹۵	۱/۱۴
C _{۲۵} /C _{۲۶}	۰/۹۶	۱/۱۴
C _{۲۷} /C _{۲۸}	۰/۹۵	۰/۷۳
C _{۲۹} /C _{۳۰}	۰/۹۷	۱/۵۳
C _{۳۱} /C _{۳۲}	۰/۹۷	۱/۲۶



شکل ۲۱. دیاگرام شعاعی نسبت آلkanهای نفت منطقه با نفت مسجدسلیمان

ترکیبات رزین بواسطه آشکارگر FID شناسایی نمی‌شوند، به همین دلیل کروماتوگرام حاصل شکل گرده ماهی به خود می‌گیرد. به این ترکیبات که توسط FID شناسایی نمی‌شوند، اصطلاحاً UCM (Unresolved Complex) می‌گفته می‌شود. نمونه‌های گل آلوده به هیدروکربور به دلیل اینکه حاوی مقادیر زیادی آب بودند، لذا نتایج حاصل از آنالیز کروماتوگرافی گازی تخریب زیستی شدید را نشان داد.

این واقعیت در کروماتوگرام‌های گازی مربوط به مالتن بدست آمده از نمونه آسفالتین شکل (۲۲)، نیز بخوبی قابل مشاهده بوده که در آن نرمال آلkanها کاملاً ناپدید شده و کروماتوگرام شکل گردده‌ماهی به خود گرفته و تأثیر فرایندهای هوازدگی و تخریب زیستی را بخوبی نشان می‌دهد. در این نمونه شدت این فرایندها بسیار شدید می‌باشد. با توجه به اینکه این نمونه یک آسفالت طبیعی می‌باشد، بنظر می‌رسد مالتن بدست آمده فاقد ترکیبات هیدروکربوری (اشباع و آروماتیک) بوده و بخش اعظم آن، ترکیبات رزین می‌باشد. از آنجایی که آشکارگر GC فقط قادر به شناسایی ترکیبات هیدروکربوری (اشباع و آروماتیک) است، و



شکل ۲۲. کروماتوگرام گازی مالتن بدست آمده از نمونه آسفالت طبیعی

آهن دار بخصوص اکسیدی در بستر رودخانه تمیز و چشمehای مورد مطالعه و همچنین بالا بودن میزان Fe_2O_3 از $3/54$ تا $7/21$ درصد در خاک بنظر می‌رسد همانگونه که در قسمتهای قبل اشاره شد شرایط اکسیدی باعث ته نشست فلزات سنگین و کاهش اتحلال پذیری آنها شده است که در نتیجه غلظت‌های بالا از این عناصر در رسوب قابل مشاهده می‌باشد. مطالعات رضائی، ۱۳۸۴ نشان می‌دهد که الگوی بالا برای غلظت عناصر ذکر شده با الگوی این عناصر در نفت مخزن آسماری میدان مسجدسالیمان انتباق دارد و این موضوع بار دیگر رابطه این آغشتگی‌ها با آبهای زیرزمینی منطقه را اثبات می‌کند.

بررسی ژئوشیمیایی رسوبات مرتبه با چشمehای منطقه

در این مرحله از انجام کار تعداد ۵ نمونه از خاک رسوبات بستر چشمehای مورد مطالعه که بعض‌آغشتگی به مواد هیدروکربنی بخصوص آسفالت را نشان می‌دهند جهت تعیین غلظت عناصر اصلی و فرعی تحت آنالیز XRF قرار گرفتند که نتایج حاصل در جدول (۶) ارائه گردیده است. با توجه به فراوانی عناصر کبات، آهن، نیکل، مس، روی، سرب، آرسنیک و واتادیم در مواد هیدروکربنی به عنوان عناصر راهنمای این عناصر بیشتر مد نظر قرار گرفتند. نتایج حاصل از آنالیز نشان می‌دهد که این مواد دارای غلظت‌های تقریباً بیشتر از میزان زمینه و بترتیب $\text{Ni} > \text{Zn} > \text{Cr} > \text{V} > \text{Cu} > \text{Pb} > \text{As} > \text{Co}$ می‌باشند. با توجه فراوانی کاتنیهای

جدول ۶. غلظت میانگین بعضی از فلزات سنگین در رسوب منطقه مورد مطالعه

	Co	Cr	Cu	Ni	Pb	Zn	V	As
Range	۱-۵	۵۴-۷۴	۲۶-۴۶	۱۹-۲۹۷	۸-۱۶	۲۴-۱۳۹	۵۵-۶۴	۲-۱۴
Mean	۳	۶۳	۳۸/۶	۱۴۸	۱۲	۷۸/۸	۶۰	۷/۵

- بر اساس نتایج آنالیز نمونه‌های برداشته از منابع تاقدیس آسماری تیپ منابع آب موجود از نوع کلوروره سدیک و سولفاته سدیک می‌باشد. در بررسی انجام شده اختلاط آب بی‌کربناته کلسیک موجود در سیستم آبخوان کارستی آسماری با شورابه نفتی و اتحلال ژیپس موجود در سازند گچساران که در مجاورت تاقدیس قرار گرفته، باعث تخریب کیفی آب چشمeh گرو شده است.

- بر اساس بررسی نسبت وزنی سدیم به کلر، از مجموعه خروجی‌های موجود در محدوده گرو دو دهانه دارای نسبت وزنی سدیم به کلر بالای $۰/۶۴۸$ و نسبت مولی بالای $۰/۹۹$ هستند (تحلل هالیت) و در سایر دهانه این نسبت‌های وزنی کمتر از

نتیجه گیری

- با توجه به بررسی‌های به عمل آمده منابع تغذیه کننده کارست آسماری شامل: آب باران باریده شده بر سطح آهک آسماری، تغذیه آبخوان آسماری از طریق نفوذ آب از سازند گچساران و ورود آبهای آلوده به شورابه نفتی می‌باشد.

- بررسی نمودار شعاعی نشان داد در تمامی نمونه‌ها بیشترین مقدار غلظت مربوط به یون‌های Na^{+} , Cl^{-} , SO_4^{2-} می‌باشد و مقادیر Mg^{2+} در این نمونه‌ها حداقل می‌باشد.

- بر اساس تقسیم بندی آب شرب منابع آب موجود در منطقه از لحظه شرب، در گروه نامناسب برای شرب قرار می‌گیرند.

آلوگی نفتی نمونه‌های مورد مطالعه نفت مخزن آسماری در میدان نفتی مسجدسلیمان بوده که بشدت مورد تجزیه زیستی قرار گرفته‌اند.

- نتایج حاصل از آنالیز رسوبات مرتبط با چشم‌های منطقه نشان می‌دهد که این مواد دارای غلظت‌های تقریباً بیشتر از میزان زمینه و بترتیب $\text{Ni} > \text{Zn} > \text{Cr} > \text{V} > \text{Cu} > \text{Pb} > \text{As} > \text{Co}$ نشان می‌دهد که الگوی بالا برای غلظت عناصر ذکر شده با الگوی این عناصر در نفت مخزن آسماری میدان مسجدسلیمان انتطبق دارد و این موضوع بار دیگر رابطه این آگشتگی‌ها با آبهای زیرزمینی منطقه را اثبات می‌کند.

- با توجه به آلوگی منابع آب خروجی از محل چشم‌گرو، بررسی محل دقیق ورود آلاینده‌های نفتی به منابع آب تاقدیس همچنین خروج آب با کیفیت قبل از تداخل با منابع آلاینده نفتی می‌تواند باعث کاهش دبی چشم‌گرو و کاهش ورود آب آلوگ به رودخانه شور تمیز و در نهایت رودخانه کارون گردد.

۰/۶ می‌باشد. وضعیت پراکنش نمونه‌ها در اکثر خروجی‌های چشم‌های مoid تاثیر شورابه‌های نفتی را بر منابع آب تاقدیس می‌باشد.

- مقادیر بالای سولفات‌های نمونه‌های مورد بررسی تأیید کننده عامل دخالت بین لایه‌های ژپسی سازند گچساران در افزایش میزان سولفات‌های موجود بین یون سدیم خروجی‌ها می‌باشد ولی وجود شواهد سطحی و نسبت‌های موجود بین یون سدیم و کلر وجود شورابه‌های نفتی را نیز تأیید می‌کند. بر این اساس اختلاط سه گروه آب شامل: آب ذخیره شده در سازند کارستی آسماری، آبهای حاصل از انحلال بین لایه‌های سازند گچساران (انحلال هالیت و ژپس) و شورابه‌های نفتی مخازن موجود در منطقه وجود داشت که الگو مثالی نمودار ترکیبی ترسیم شده برای منابع آب منطقه نیز تأیید کننده اختلاط سه تیپ آب می‌باشد.

- رسم دیاگرام ستاره‌ای ترسیم شده از روی نسبت آلکان‌های نرمال نشان می‌دهد که با وجود اختلاف قابل توجه در فراوانی نرمال آلکان‌ها، نسبت‌های این ترکیبات اختلاف اندکی را نشان می‌دهد. بنابراین در کل می‌توان نتیجه گرفت که منشاء

منابع

- rstemi زرین آبادی. ا، فرقانی. گ، کرمی. غ، ۱۳۹۳، ارزیابی خصوصیات هیدرولوژیکی آبهای زیرزمینی دشت رومشگان، لرستان، ایران مجله زمین شناسی کاربردی پیشرفت، شماره ۱۳، ص ۴۱-۴۴.
- رضائی. ز، ۱۳۸۴، تعیین منشاء H_2S در نفت مخزن آسماری میدان نفتی مسجد سلیمان، پایان نامه کارشناسی ارشد دانشگاه شهید چمران اهواز، ص ۲۰۰.
- ناصری. ح و علیجانی. ف، ۱۳۸۵، مطالعات کارست تاقدیس آسماری، سازمان آب و برق خوزستان.

- Al-Sulaimi. J., Viswanathan. M.N., Szekely. F., 1993, Effect of oil pollution on fresh groundwater in Kuwait, *Environmental Geology*, Vol: 22, p: 246-258.
- Bakalowicz. M., 2005, Karst groundwater: a challenge for new resources, *Hydrogeology J*, Vol: 13, p: 148–160.
- Clemens. T., Hückinghaus. D., Sauter. M., Liedl. R., Teutsch G., 1999, Simulation of the development of karst aquifers: role of the epikarst, *Int Journal Earth Sciences*, Vol: 88, p: 157–162.
- Desitter. L. U., 1947, Digenesis of oil-field brines: American Association of Petroleum ecologists Bulletin, Vol: 31, p: 2030-2040.
- Fetter. C. W., 1994, *Applied hydrogeology*, Third Edition, New York, Macmillan, p: 691.
- Karimi. H., Moore. F., 2008, The source and heating mechanism for the Ahram, Mirahmad and Garu thermal springs, Zagros Mountain, Iran, *Geothermics*, Vol: 37, p:84-100.
- Krieger. R. A., Hendrikson. G. E., 1960, Effete of Greensburg oil-field brines on the streams, wells, And springs oil the Upper Green River: Kentucky Geological Survey, Series X, Report of Investigations, No: 2, p: 36.
- Land. L. S., Prezbindowski. D. R., 1981, the origin and evolution of saline formation water, Lower Cretaceous Carbonates, South-Central Texas: *Journal of Hydrology*, Vol: 54, p: 51-74.
- Leonard. R. B., 1964. A method for evaluation; oil field brain pollution of the Walnut River in Kansas: U.S. Geological Survey Professional Paper No: 501-B, p: 173-176.
- Leonard. A. R., Ward. P. E., 1962, Use of Na/Cl ratios to distinguish oil-field from salt-spring brines in Western Oklahoma: U.S. Geological Survey Professional Paper No: 45Q-B, p: 126-127.
- Mast. V. A., 1982, the use of ionic mixing curves in differentiating oil-field brine in a fresh-water aquifer: Presented at the American Water Resources Association, The University of Texas at Austin, p: 16.
- Mazor. E., 1991, *Applied Chemical and Isotopic Groundwater Hydrology*, Halsted Press New York.
- Rittenhouse, Gordon, Fulton, R. 8., Ill, Grabowski, R. J., and Bernard, J. L, 1969, Minor elements in oil-field waters: *Chemical Geology*, Vol: 4, p: 189-209.
- White. W.B., 2002, Karst hydrology: recent developments and open questions *Geomorphology and Hydrology of Karst Terrains*. *Journal of Engineering Geology*, Vol: 65, p: 85–105.
- Wnittemore. D. O., 1984, geochemical identification of salinity sources, in French, R. H., salinity in watercourses and reservoirs: Proceedings of the 1983 International Symposium on State-of-the-Art Control of Salinity, Salt Lake City, Utah, p: 505-514.
- Whittamora. D. O., 1988, Bromide as a tracer in ground-water studies: Geochemistry and analytical determination: National Water Well Association, Proceedings, *Groundwater Geochemistry Conference*, Denver, Colorado, p: 339-359.